

## 총총나무 잎의 Phenol성 성분(I)

이동호·이승호\*·정시련\*·노재섭·이경순  
충북대학교 약학대학, 영남대학교 약학대학\*

Phenolic Components from the Leaves of *Cornus controversa* H.

Dongho Lee, Seung-Ho Lee\*, See Ryun Chung\*,  
Jaiseup Ro and Kyongsoon Lee

College of Pharmacy, Chungbuk National University, Cheongju 360-763 and

\*College of Pharmacy, Yeungnam University, Kyongsan, 712-749, Korea

**Abstract**—Twelve phenolic components were isolated from the aqueous acetone extract of the leaf of *Cornus controversa* H. (Cornaceae). On the basis of chemical and spectroscopic evidence, the structures of these components were established as gallic acid, 1-O-galloyl-β-D-glucose, 1,6-di-O-galloyl-β-D-glucose, 1,2,3-tri-O-galloyl-β-D-glucose, 1,2,6-tri-O-galloyl-β-D-glucose, 3,4,6-tri-O-galloyl D-glucose, eugenin, gemine D, quercetin, isoquercitrin, hyperoside and rutin.

**Keywords**—*Cornus controversa* · Cornaceae · gallic acid · galloylglucose · hydrolysable tannin · flavonoid · phenolic compound

총총나무 *Cornus controversa* H.는 총총나무과 Cornaceae에 속하는 落葉喬木으로 높이가 20m에 달하고, 민간에서는 滋養, 强壯, 收斂등에 사용하고<sup>1,2)</sup> 중국에서는 燈臺樹라 하여 과실을 咳嗽, 가지를 腰腿痛에 사용한다.<sup>3)</sup>

본 식물의 성분에 관한 연구로는 잎에서 Nakaoki, T. 등<sup>4)</sup>이 isoquercitrin을, Takaishi, K. 등<sup>5)</sup>이 O-coumaric acid를, 꽃에서 Kurihara, T. 등<sup>6)</sup>이 essential oil(cornusol 등), triterpenoids, flavonoids(quercetin 등) 등을 분리 보고하였고, Nishino, C. 등<sup>7)</sup>이 halleridone을 분리하였는데 이 halleridone은 P-388과 HeLa cell에 cytotoxic activity가 있다고 보고하였고, 그 밖에 fatty acid, rutoside, gallic acid 등이 보고 되었다.<sup>8)</sup>

저자 등은 천연 phenol성 성분에 대한 화학적 연구의 일환으로 총총나무 잎의 수성 acetone 추출물로부터 12종의 phenol성 성분을 단리하여

그 화학구조를 동정하였기에 보고한다.

### 실험방법

**실험재료**—1992년 5월 충북대학교 구내에 식재되어 있는 총총나무의 잎을 채집하여 정확히 감정 후 세절하여 사용하였다.

**기기 및 시약**—용점은 Swiss B chi사의 Model 510-K 미량용점측정기를 사용하였으며 보정하지 않았다. IR spectrum은 Perkin-Elmer spectrophotometer(Model LE 599, U.K.), UV spectrum은 Shimadzu사의 UV-240 spectrophotometer로 측정하였다. <sup>1</sup>H-NMR(200, 300MHz) 및 <sup>13</sup>C-NMR(50, 70MHz) spectrum은 Bruker(AM 200, 500, Germany), Varian-Gemini spectrometer, Varian unity 300 spectrometer로 측정 하였으며 chemical shift는 TMS를 내부 표준물질로 하는 δ치(ppm)로 나타내었고, 결합정수는 Hz로

표시했다. Column chromatography는 Sephadex LH-20(20-100 $\mu$ , Pharmacia Fine Chemical Co., Ltd.), Cosmosil 75 C<sub>18</sub>-OPN(42-105 $\mu$ , Nacalaitesque Co., Ltd.), TSK-gel Toyopearl HW 40F(30-60 $\mu$ , Tosoh Co.), MCI-gel CHP 20P(75-150 $\mu$ , Mitsubishi Chemical Industries Co., Ltd.), Avicel cellulose(Sigma)를 사용했다. TLC는 Kieselgel 60 F254 plate(0.2mm, Merck) [용매: benzene-ethylformate-formic acid(1:7:1 및 1:5:2, v/v), chloroform-methanol-water(13:7:2, v/v, lower phase), n-butanol-pyridine-water(6:4:3), acetonitrile-water(85:15)] 및 cellulose F<sub>254</sub> plate(0.1 mm, Merck) [용매: 2% AcOH, n-butanol-pyridine-water(6:4:3)]를 이용하였고, 검출은 1% ethanol성 FeCl<sub>3</sub>시약(phenolic compound), 10% H<sub>2</sub>SO<sub>4</sub>시약(sugar 및 각종 methylether) 및 UV Lamp 254, 356 nm를 사용하였으며, 시약 및 용매는 분석용 특급 또는 1급 시약을 사용하였다.

**추출 및 분리** - 신선한 총총나무 잎 8.0 kg을 세절하여 80% 수성 acetone으로 실온에서 4회 반복 추출하였다. 추출액은 감압하에서 acetone 을 유거하고 생성되는 침전을 여과하여 제거한 후 여액을 재차 농축하여 Sephadex LH-20 column(9 cm × 50 cm)에 걸어 H<sub>2</sub>O-MeOH-(CH<sub>3</sub>)<sub>2</sub>CO를 gradient로 순차적으로 용출시켜 TLC로 monitoring하면서 3개의 fraction으로 분획하였다. Fraction 1은 Sephadex LH-20(H<sub>2</sub>O-MeOH, EtOH), Cosmosil 75 C<sub>18</sub>-OPN(H<sub>2</sub>O-MeOH), TSK-gel Toyopearl HW 40F(H<sub>2</sub>O-MeOH), MCI-gel CHP 20P(H<sub>2</sub>O-MeOH) 등의 column chromatography를 반복 실시하여 compound 1(550 mg), compound 2(350 mg), compound 9(268 mg), compound 11(3.5 g)을 단리하였다. Fraction 2는 MCI-gel CHP 20P(H<sub>2</sub>O-MeOH), Sephadex LH-20(H<sub>2</sub>O-MeOH, EtOH), Cosmosil 75 C<sub>18</sub>-OPN(H<sub>2</sub>O-MeOH), TSK-gel Toyopearl HW 40F(H<sub>2</sub>O-MeOH), Avicel cellulose(2% AcOH) 등의 column chromatography를 반복 실시하여 compound 3(430 mg), compound 5(268 mg), compound 8(250 mg), compound 12(250 mg)을 단리하였다. Fraction 3은

Sephadex LH-20(H<sub>2</sub>O-MeOH, EtOH), Cosmosil 75 C<sub>18</sub>-OPN(H<sub>2</sub>O-MeOH), TSK-gel Toyopearl HW 40F(H<sub>2</sub>O-MeOH) 등의 column chromatography를 반복 실시하여 compound 4(155 mg), compound 6(225 mg), compound 7(120mg), compound 10(350 mg)을 단리하였다.

**Compound 1 (gallic acid)** - 무색침상결정(H<sub>2</sub>O), FeCl<sub>3</sub> test: 청남색, mp 270-272°, IR  $\nu_{\text{max}}^{\text{KBr}}$  cm<sup>-1</sup> : 1,650(COO), <sup>1</sup>H-NMR(acetone-d<sub>6</sub>+D<sub>2</sub>O) δ: 7.12 (2H, s, galloyl H).

**Compound 2 (1-O-galloyl-β-D-glucose)** - 무색 침상결정(H<sub>2</sub>O), FeCl<sub>3</sub> test: 청남색, mp 205°, <sup>1</sup>H-NMR(acetone-d<sub>6</sub>+D<sub>2</sub>O) δ: 5.68 (1H, d,  $J=8$  Hz, glc-1), 7.16 (2H, s, galloyl H)

**Compound 3 (1,6-di-O-galloyl-β-D-glucose)** - 무색침상결정(H<sub>2</sub>O), FeCl<sub>3</sub> test: 청남색, mp 203-205°, <sup>1</sup>H-NMR(acetone-d<sub>6</sub>+D<sub>2</sub>O) δ: 4.36 (1H, dd,  $J=4$ , 12 Hz, glc-6), 4.60 (1H, dd,  $J=2$ , 12 Hz, glc-6), 5.72 (1H, d,  $J=8$  Hz, glc-1), 7.12, 7.16 (each 2H, s, galloyl H)

**Compound 4 (1,2,3-tri-O-galloyl-β-D-glucose)** - 담황색 무정형 분말(H<sub>2</sub>O), FeCl<sub>3</sub> test: 청남색,  $[\alpha]_D^{23} +32.0^\circ$ (c=0.6, acetone), <sup>1</sup>H-NMR(acetone-d<sub>6</sub>+D<sub>2</sub>O) δ: 5.44(1H, t,  $J=8$  Hz, glc-2), 5.64(1H, t,  $J=8$  Hz, glc-3), 6.10(1H, d,  $J=8$  Hz, glc-1), 7.02, 7.10, 7.12(each 2H, s, galloyl H).

**Compound 5 (1,2,6-tri-O-galloyl-β-D-glucose)** - 무색 침상결정(H<sub>2</sub>O), FeCl<sub>3</sub> test: 청남색, mp 229-232°, <sup>1</sup>H-NMR(acetone-d<sub>6</sub>+D<sub>2</sub>O) δ: 4.41 (1H, dd,  $J=6$ , 12 Hz, glc-6), 4.63 (1H, dd,  $J=2$ , 12 Hz, glc-6), 5.27 (1H, t,  $J=8$  Hz, glc-2), 5.98 (1H, d,  $J=8$  Hz, glc-1), 7.09, 7.11, 7.16 (each 2H, s, galloyl H).

**Compound 6 (3,4,6-tri-O-galloyl-D-glucose)** - 황갈색 무정형분말(H<sub>2</sub>O), FeCl<sub>3</sub> test: 청남색,  $[\alpha]_D^{25} -77.4^\circ$ (c=1.1, MeOH), mp 194-196°, <sup>1</sup>H-NMR(acetone-d<sub>6</sub>+D<sub>2</sub>O) δ: 4.20(dd,  $J=4$ , 12 Hz, glc-6), 4.40(d,  $J=12$  Hz, glc-6), 4.87(d,  $J=8$  Hz, glc-β-1), 5.36, 5.41(each t,  $J=9$  Hz, glc-4), 5.50(d,  $J=4$  Hz, glc-α-1), 5.70(t,  $J=8$  Hz, glc-3), 7.04, 7.05, 7.07, 7.16, 7.17(6H in total, s, galloyl H). <sup>13</sup>C-NMR(acetone-d<sub>6</sub>+D<sub>2</sub>O) δ: 63.5(glc-6),

68.6(70.0, 72.0, 72.8, 74.0, 74.6, 75.9 (glc-2, 3, 4, 5), 93.6( $\alpha$ -glc-1), 98.3( $\beta$ -glc-1), 110.1(galloyl 2, 6), 120.8, 121.5(galloyl 1), 138.8, 139.1(galloyl 4), 145.8(galloyl 3, 5), 165.9, 166.3, 166.5(-COO-).

**Compound 2, 3, 4, 5, 6의 산 가수분해** - Compound 2, 3, 4, 5, 6을 각각 5% H<sub>2</sub>SO<sub>4</sub>용액에 녹여 90°로 5시간 가열한 후 반응액을 BaCO<sub>3</sub>로 중화하였다. 석출되는 염을 여과하여 제거하고 얻어진 여액을 ethylacetate로 분획하였다. Ethylacetate분획에서 gallic acid를, 물 분획에서는 D-glucose를 표준과 함께 TLC를 실시하여 확인하였다.

**Compound 6의 methylation** - Compound 6을 dry acetone 중에서 (CH<sub>3</sub>)<sub>2</sub>SO<sub>4</sub>와 K<sub>2</sub>CO<sub>3</sub> 80°에서 1시간 30분 환류냉각시켜 methylation 시킨 후, 반응액은 무기염을 제거하고 여액을 완전히 농축한 뒤 silicagel column chromatography [benzene-acetone(9:1, v/v)]를 실시하여 methyl ether 6a 및 6b를 얻었다. 6a: <sup>1</sup>H-NMR(acetone-d<sub>6</sub>+D<sub>2</sub>O) δ: 5.66(1H, t, J=10 Hz, glc-3), 5.51(1H, t, J=10 Hz, glc-4), 4.70(1H, dd, J=6, 14 Hz, glc-6), 4.35(2H, m, glc-5, 6), 6b: <sup>1</sup>H-NMR(acetone-d<sub>6</sub>+D<sub>2</sub>O) δ: 5.55(1H, t, J=7Hz, glc-3), 5.50(1H, t, J=7Hz, glc-4), 4.67(1H, dd, J=4, 13 Hz, glc-6), 4.35(1H, d, J=13 Hz, glc-6).

**Compound 7(eugeniiin)** - 담황색 무정형 분말, FeCl<sub>3</sub> test: 청남색, [α]<sub>D</sub><sup>22</sup>+43.9°(c=1.0, acetone), <sup>1</sup>H-NMR(acetone-d<sub>6</sub>+D<sub>2</sub>O) δ: 3.89(1H, d, J=13 Hz, glc-6), 4.53(1H, dd, J=6, 9 Hz, glc-5), 5.24(1H, d, J=9 Hz, glc-4), 5.39(1H, dd, J=6, 13 Hz, glc-6), 5.62(1H, t, J=9 Hz, glc-2), 5.86(1H, t, J=9 Hz, glc-3), 6.22(1H, t, J=9 Hz, glc-1), 6.50, 6.67(each 1H, s, hexahydroxydiphenoyl H), 6.98, 7.01, 7.12(each 2H, s, galloyl H).

**Compound 7의 methylation 및 alkali 가수분해** - Compound 7(50mg)을 compound 6에서와 같은 방법으로 methylation시켜 얻어진 methyl ether를 MeOH(1 ml)에 용해하고 10% NaOH를 가해 90°에서 1시간 가열하였다. 반응액은 농축 후 산성이 될 때까지 1N-HCl을加하여 ether로 3회 반복 추출 하였다. 추출한 ether층은 물로

세척한 후 Na<sub>2</sub>SO<sub>4</sub>로 탈수시켜 감압 농축한 뒤, MeOH에 녹여 ether성 CH<sub>2</sub>N<sub>2</sub>로 0°에서 1시간 처리한 뒤 농축하여 silicagel column chromatography [benzene-acetone(20:3, v/v)]를 실시하여 methyl 3,4,5-trimethoxybenzoate(7a, 5mg) 및 dimethyl-(S)-hexamethoxydiphenate(7b, 6mg)[[α]<sub>D</sub><sup>22</sup> -23.7° (c=0.6, acetone)]를 얻었다.

**Compound 7의 부분가수분해** - Compound 7을 MeOH-water (1:1) 2 ml에 녹여 수육상에서 환류 냉각하면서 4시간 가열한 뒤, 반응액을 냉각 후 농축시켜 Sephadex LH-20으로 column chromatography(water-MeOH)를 실시하여 gallic acid(1)와 4,6-(S)-hexahydroxydiphenoyl-D-glucose(7c)를 얻었다. 7c: <sup>1</sup>H-NMR(acetone-d<sub>6</sub>+D<sub>2</sub>O) δ: 4.50-4.90(3H, br d, glc-1, 2, 3), 5.12(1H, m, glc-4), 4.35(1H, m, glc-5), 5.18(1H, m, glc-6), 3.50-4.00(1H, m, glc-6), 6.59, 6.68(each 1H, s, hexahydroxydiphenoyl H).

**Compound 8(gemine D)** - 담황색 무정형 분말, FeCl<sub>3</sub> test: 청남색, [α]<sub>D</sub><sup>22</sup>+40.6° (c=0.6, acetone). <sup>1</sup>H-NMR(acetone-d<sub>6</sub>+D<sub>2</sub>O) δ: 6.46, 6.64(each 1H, s, hexahydroxydiphenoyl H), 7.04(2H, s, galloyl H).

**Compound 8의 부분 가수분해** - Compound 8을 water-MeOH(1:1) 2 ml에 녹여 수육상에서 환류냉각하면서 4시간 가열한 뒤 반응액을 냉각 후 농축시켜, Sephadex LH-20로 column chromatography(water-MeOH)를 실시하여 ellagic acid(8a) 및 3-O-galloyl-D-glucose(8b)를 얻었다. 8b: 담황색 무정형분말. <sup>1</sup>H-NMR(acetone-d<sub>6</sub>+D<sub>2</sub>O) δ: 3.43(t, J=9 Hz,  $\beta$ -glc-2), 4.69(d, J=9 Hz,  $\beta$ -glc-1), 5.14(t, J=9 Hz,  $\beta$ -glc-3), 5.22(d, J=4 Hz,  $\alpha$ -glc-1), 5.38(t, J=9 Hz,  $\alpha$ -glc-3), 7.16(2H, s, galloyl H).

**Compound 8의 methylation** - Compound 8을 compound 7에서와 같이 methylation 시킨 후 반응액은 무기염을 제거하고 여액을 완전히 농축한 뒤 silicagel column chromatography [benzene-acetone(9:1, v/v)]를 실시하여 methyl ether 8c 및 8d를 얻었다. 8c: <sup>1</sup>H-NMR(acetone-d<sub>6</sub>) δ 7.29(2H, s, galloyl H), 6.92, 6.71(each 1H,

s, hexahydroxydiphenoyl H), 5.28(1H, d,  $J=3.5$  Hz, glc-1), 5.51(1H, t,  $J=10$  Hz, glc-3), 4.95(1H, t,  $J=10$  Hz, glc-4), 5.26(1H, dd,  $J=7, 13$  Hz, glc-6), 8d:  $^1\text{H-NMR}$ (acetone-d<sub>6</sub>)  $\delta$  7.29(2H, s, galloyl H), 6.93, 6.69(each 1H, s, hexahydroxydiphenoyl H), 4.75(1H, d,  $J=8$  Hz, glc-1), 5.33(1H, t,  $J=10$  Hz, glc-3), 4.98(1H, t,  $J=10$  Hz, glc-4), 5.24(1H, dd,  $J=6, 13$  Hz, glc-6).

**Compound 8c 및 8d의 alkali 가수분해 - 8c 및 8d를 MeOH 1 ml에 용해하고 10% NaOH 2 ml를 가해 90°에서 1시간 가열하였다. 반응액은 농축 후 산성이 될 때까지 1N-HCl을 가하여 ether로 3회 반복 추출 하였다. 추출한 ether층은 water로 세척한 후 Na<sub>2</sub>SO<sub>4</sub>로 탈수시켜 감압 농축한 뒤 MeOH에 녹여 ether성 CH<sub>2</sub>N<sub>2</sub>로 0°에서 1시간 처리한 후 농축하여 silicagel column chromatography [benzene-acetone(20:3, v/v)]를 실시하여 methyl-3,4,5-trimethoxybenzoate(7a) 및 dimethyl (S)-hexamethoxydipheoate(7b) [ $[\alpha]_D^{22} -23.7^\circ$  (c=0.6, acetone)]를 얻었다.**

**Compound 9(quercetin)** - 황색분말(H<sub>2</sub>O), mp 311-313°(dec.), FeCl<sub>3</sub> test: 오록색, Mg-HCl, Zn-HCl test: 홍색, IR  $\nu_{\text{max}}^{\text{KBr}}$  cm<sup>-1</sup>: 3,350 (OH), 1,685(C=O), UV(nm) :  $\lambda_{\text{max}}$  (MeOH) 255, 370,  $\lambda_{\text{max}}$  (NaOMe) 321,  $\lambda_{\text{max}}$  (AlCl<sub>3</sub>) 272, 338, 458,  $\lambda_{\text{max}}$  (AlCl<sub>3</sub>/HCl) 265, 359, 428,  $\lambda_{\text{max}}$  (NaOAc) 274, 329, 390,  $\lambda_{\text{max}}$  (NaOAc/H<sub>3</sub>BO<sub>3</sub>) 261, 388,  $^1\text{H-NMR}$ (DMSO-d<sub>6</sub>)  $\delta$ : 6.17(1H, d,  $J=2$  Hz, H-6), 6.39(1H, d,  $J=2$  Hz, H-8), 6.87 (1H, d,  $J=8$  Hz, H-5'), 7.53(1H, dd,  $J=2, 8$  Hz, H-6'), 7.66(1H, d,  $J=2$  Hz, H-2'), 12.4 (1H, s, C5-OH).  $^{13}\text{C-NMR}$ (DMSO-d<sub>6</sub>)  $\delta$ : 146.9(C-2), 135.8(C-3), 175.9(C-4), 160.8(C-5), 98.3(C-6), 164.0(C-7), 93.5(C-8), 156.2(C-9), 103.1(C-10), 122.1(C-1'), 115.2(C-2'), 145.1(C-3'), 147.7(C-4'), 115.7(C-5'), 120.1(C-6')

**Compound 10(quercitrin)** - 황색분말(H<sub>2</sub>O), mp 180-182°, FeCl<sub>3</sub> test: 오록색, Mg-HCl, Zn-HCl test: 홍색, IR  $\nu_{\text{max}}^{\text{KBr}}$  cm<sup>-1</sup>: 3,228 (OH), 1,655(C=O), UV(nm) :  $\lambda_{\text{max}}$  (MeOH) 256, 350,  $\lambda_{\text{max}}$  (NaOMe) 270, 326, 393,  $\lambda_{\text{max}}$  (AlCl<sub>3</sub>) 276, 333, 430,  $\lambda_{\text{max}}$  (AlCl<sub>3</sub>/HCl) 272, 353, 401,  $\lambda_{\text{max}}$

(NaOAc) 272, 372,  $\lambda_{\text{max}}$  (NaOAc/H<sub>3</sub>BO<sub>3</sub>) 260, 367,  $^1\text{H-NMR}$ (DMSO-d<sub>6</sub>+D<sub>2</sub>O)  $\delta$ : 0.82 (3H, d,  $J=6$  Hz, rha-CH<sub>3</sub>), 5.25(1H, d,  $J=2$  Hz, rha-1), 6.22 (1H, d,  $J=2$  Hz, H-6), 6.40(1H, d,  $J=2$  Hz, H-8), 6.86 (1H, d,  $J=8$  Hz, H-5'), 7.24 (1H, dd,  $J=2, 8$  Hz, H-6'), 7.27(1H, d,  $J=2$  Hz, H-2'). 12.63 (1H, s, C5-OH).  $^{13}\text{C-NMR}$ (DMSO-d<sub>6</sub>+D<sub>2</sub>O)  $\delta$ : 157.4(C-2), 134.3(C-3), 177.8(C-4), 161.4(C-5), 98.8(C-6), 164.5(C-7), 93.8(C-8), 156.5(C-9), 104.1(C-10), 120.8(C-1'), 115.6(C-2'), 145.4(C-3'), 148.6(C-4'), 115.7(C-5'), 121.0(C-6'), 101.9(C-1''), 70.1(C-2''), 70.4(C-3''), 71.3(C-4''), 70.7(C-5''), 17.6(C-6'')

**Compound 11(hyperoside)** - 황색분말(H<sub>2</sub>O), mp 227-230°, FeCl<sub>3</sub> test: 오록색, Mg-HCl, Zn-HCl test: 홍색, UV(nm) :  $\lambda_{\text{max}}$  (MeOH) 257, 362,  $\lambda_{\text{max}}$  (NaOMe) 272, 327, 409,  $\lambda_{\text{max}}$  (AlCl<sub>3</sub>) 275, 331, 438,  $\lambda_{\text{max}}$  (AlCl<sub>3</sub>/HCl) 268, 299, 366, 405,  $\lambda_{\text{max}}$  (NaOAc) 274, 324, 380,  $\lambda_{\text{max}}$  (NaOAc/H<sub>3</sub>BO<sub>3</sub>) 262, 298, 377,  $^1\text{H-NMR}$  (DMSO-d<sub>6</sub>+D<sub>2</sub>O)  $\delta$ : 5.33 (1H, d,  $J=8$  Hz, gal-1), 6.18 (1H, s, H-6), 6.40(1H, s, H-8), 6.79 (1H, d,  $J=8$  Hz, H-5'), 7.53 (1H, d,  $J=2$  Hz, H-2'). 7.62(1H, dd,  $J=2, 8$  Hz, H-6')  $^{13}\text{C-NMR}$  (DMSO-d<sub>6</sub>+D<sub>2</sub>O)  $\delta$ : 156.4(C-2), 133.6(C-3), 177.5(C-4), 161.0(C-5), 98.8(C-6), 164.2(C-7), 93.8(C-8), 156.3(C-9), 104.0(C-10), 121.2(C-1'), 115.3(C-2'), 144.8(C-3'), 148.5(C-4'), 116.1(C-5'), 122.0(C-6'), 101.9(C-1''), 71.2(C-2''), 73.2(C-3''), 67.9(C-4''), 75.9(C-5''), 60.2(C-6'')

**Compound 12(rutin)** - 황색분말(H<sub>2</sub>O), mp 186-188°, FeCl<sub>3</sub> test: 오록색, Mg-HCl, Zn-HCl test: 홍색, IR  $\nu_{\text{max}}^{\text{KBr}}$  cm<sup>-1</sup>: 3,300 (OH), 1,650(COO), UV(nm) :  $\lambda_{\text{max}}$  (MeOH) 259, 359,  $\lambda_{\text{max}}$  (NaOMe) 272, 327, 410,  $\lambda_{\text{max}}$  (AlCl<sub>3</sub>) 275, 433,  $\lambda_{\text{max}}$  (AlCl<sub>3</sub>/HCl) 271, 300, 402,  $\lambda_{\text{max}}$  (NaOAc) 271, 325, 393,  $\lambda_{\text{max}}$  (NaOAc/H<sub>3</sub>BO<sub>3</sub>) 262, 298, 387,  $^1\text{H-NMR}$  (acetone-d<sub>6</sub>+D<sub>2</sub>O)  $\delta$ : 1.10 (3H, d,  $J=4$  Hz, rha-CH<sub>3</sub>), 4.56(1H, br s, rha-1), 5.12 (1H, d,  $J=8$  Hz, glc-1), 6.28(1H, d,  $J=2$  Hz, H-6), 6.52 (1H, d,  $J=2$  Hz, H-8), 6.96 (1H, d,  $J=8$  Hz, H-5'), 7.63(1H, dd,  $J=2, 8$  Hz,

H-6'), 7.73 (1H, d,  $J=2$  Hz, H-2').  $^{13}\text{C-NMR}$  (acetone-d<sub>6</sub>+D<sub>2</sub>O)  $\delta$ : 158.4(C-2), 134.7(C-3), 178.4(C-4), 161.6(C-5), 99.4(C-6), 164.9(C-7), 94.5(C-8), 157.4(C-9), 104.7(C-10), 122.4(C-1'), 115.7(C-2'), 144.8(C-3'), 148.9(C-4'), 117.0(C-5'), 122.9(C-6'), sugar(17.4, 67.5, 68.8, 70.0, 70.8, 71.2, 72.7, 74.6, 75.9, 76.9, 101.4, 103.7)

**Compound 10, 11, 12의 산 가수분해 -** Compound 10, 11, 12를 각각 5% H<sub>2</sub>SO<sub>4</sub>용액에 녹여 90°로 5시간 가열한 후 반응 액을 BaCO<sub>3</sub>로 중화하였다. 석출되는 염을 여과하여 제거하고 얻어진 여액을 ethylacetate로 분획하였다. Ethylacetate분획에서 quercetin을, 물분획에서는 L-rhamnose(compound 10, 12), D-galactose (compound 11), D-glucose(compound 12)를 표 품과 함께 TLC를 실시하여 확인 하였다.

### 결과 및 고찰

Compound 1은 각종 spectral data를 표 품과 비교하여 gallic acid(1)<sup>9</sup>로 동정하였다.

Compound 2, 3, 4, 5, 6은 FeCl<sub>3</sub>용액에 의해 모두 청남색을 나타내고 산가수분해에 의해 gallic acid(1)와 glucose가 얻어지므로 모두 glucose의 gallate로 추정된다. Compound 2는 무 색침상 결정으로,  $^1\text{H-NMR}$  spectrum에서는 aromatic field에서  $\delta$  7.16에 2H분의 singlet이, aliphatic field에서는  $\delta$  5.68에 1H분의 anomeric proton signal이  $J=8$  Hz로 저자장 shift되어 관찰되는 것으로 보아 glucose의 anomeric center에 1개의 galloyl기가 ester결합한 것으로 추정, 표 품과 co-TLC 및  $^1\text{H-NMR}$  spectrum을 비교하여 1-O-galloyl- $\beta$ -D-glucose<sup>10</sup>라 결정 하였다.

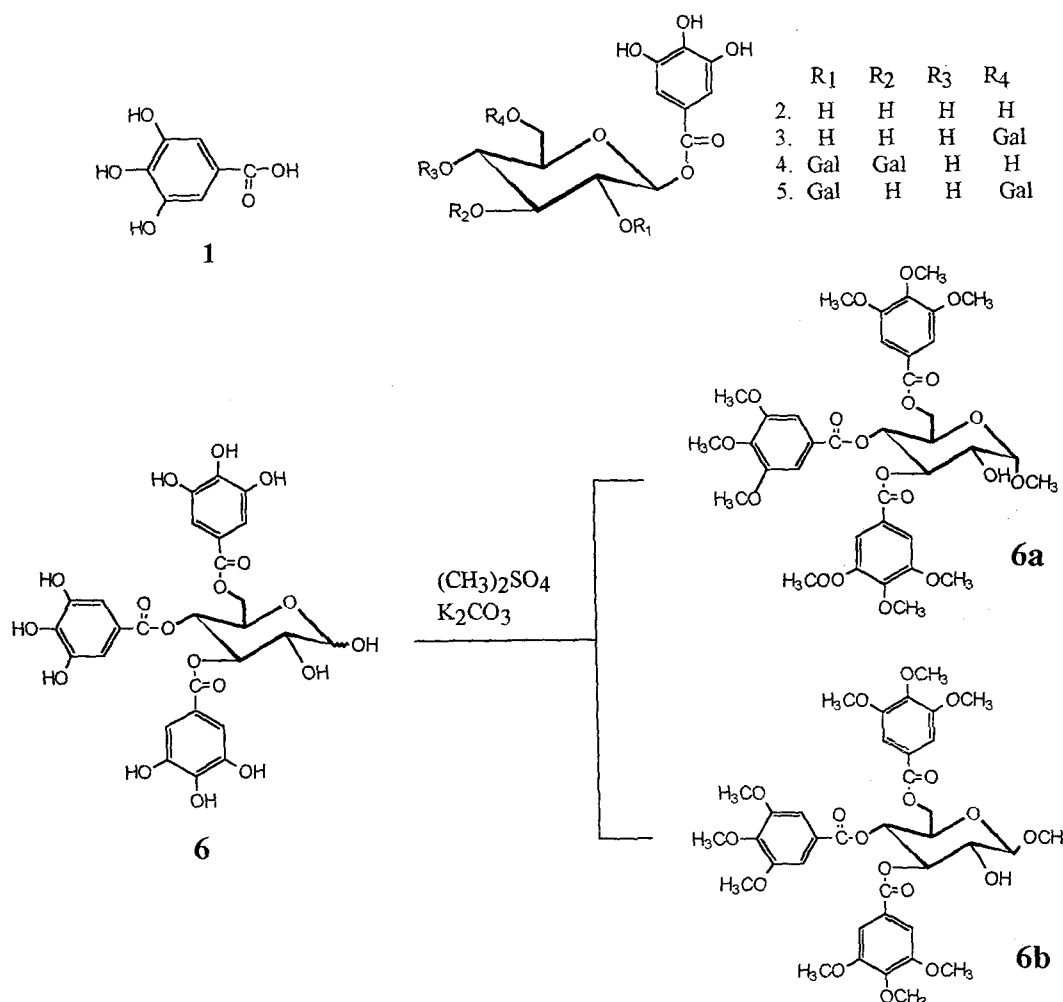
Compound 3은 무색침상 결정으로  $^1\text{H-NMR}$  spectrum에서는 aromatic field에서  $\delta$  7.12, 7.16에 각각 2H분의 singlet이, aliphatic field에서는  $\delta$  5.72에 1H분의 anomeric proton signal이 저자장 shift되어 관찰되었고,  $\delta$  4.36에  $J=4, 12$  Hz로 coupling하고 있는 double doublet이, 4.60 ppm에  $J=2, 12$  Hz로 coupling하고 있는 double doublet이 각각 저자장 shift되어 관찰되었다. 따라서 compound 3은 glucose의 1, 6 위에 gal-

loyl기가 ester결합한 화합물로 추정되었고, anomeric center의 배위는 anomeric proton signal( $\delta$  5.72)이  $J=8$  Hz로 큰것으로 보아  $\beta$ -위로 결정했다. 이상의 결과로 compound 3은 1,6-di-O-galloyl- $\beta$ -D-glucose<sup>11</sup>라 추정하고 표 품과 co-TLC 및  $^1\text{H-NMR}$  spectrum을 비교하여 동정하였다.

Compound 4는 담황색 무정형 분말로  $^1\text{H-NMR}$  spectrum에서는 aromatic field에 있어서  $\delta$  7.02, 7.10, 7.12에 각각 2H분의 singlet이 관찰되고, aliphatic field에 있어서는 glucose의 methine 및 methylene proton signal 중  $\delta$  6.10, 5.64, 5.44의 proton signal이 저자장 shift하여 관찰된다. 따라서 compound 4는 glucose의 이들 위치에 galloyl기가 결합된 glucose의 trigallate로 추정되며, 이들은 coupling pattern으로 보아 glucose의 1, 2, 3위로 결정하였다. 이상의 결과를 종합하여 compound 4는 1,2,3-tri-O-galloyl- $\beta$ -D-glucose<sup>12</sup>로 결정, 표 품과 co-TLC 및 spectrum data를 직접 비교하여 동정 하였다.

Compound 5는 무색 침상결정으로,  $^1\text{H-NMR}$  spectrum에서 aromatic field에  $\delta$  7.09, 7.11, 7.16에 각각 2H분의 singlet이 나타났다. Aliphatic field에서는 1개의 hexose에 기인하는 모두 7H 분의 methine 및 methylene proton signal이 관찰되고, 이들중  $\delta$  5.98(1H, d,  $J=8$  Hz),  $\delta$  5.27(1H, t,  $J=8$  Hz),  $\delta$  4.63(1H, dd,  $J=2, 12$  Hz) 및  $\delta$  4.41(1H, dd,  $J=6, 12$  Hz) 등 4개의 proton signal이 저자장 shift하여 관찰되었다. 따라서 compound 5는 trigalloyl glucose로 추정 하였으며 galloyl 기의 결합위치에 관해서는 aromatic field에서 저자장 shift하고 있는 4개의 proton signal의 pattern으로 보아 각각 glucose의 1, 2, 6위에 귀속되어 compound 5는 1,2,6-tri-O-galloyl- $\beta$ -D-glucose<sup>13</sup>로 결정하고 표 품과 co-TLC 및  $^1\text{H-NMR}$  spectrum을 비교하여 동정하였다.

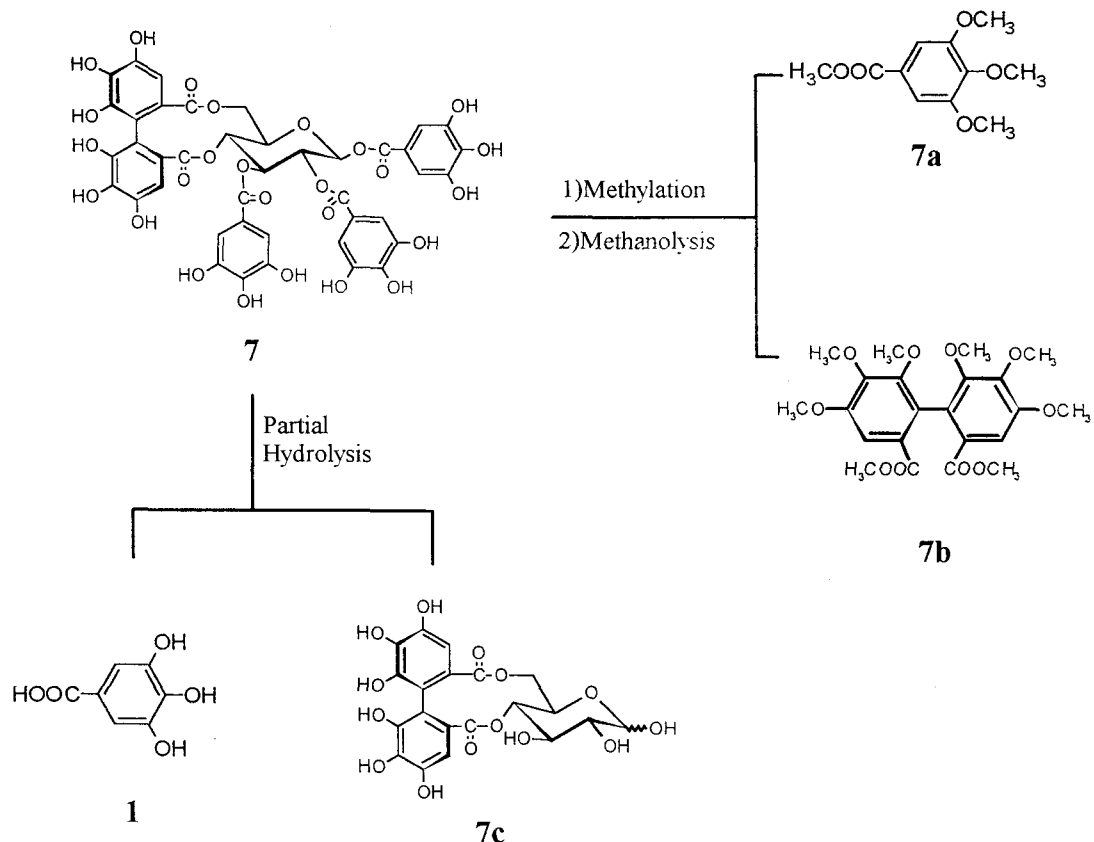
Compound 6은 황갈색 무정형 분말로  $^1\text{H-NMR}$  spectrum은 매우 복잡하나 aromatic field에 7.04-7.17 사이에 3개의 galloyl기에 의한 total 6H분의 proton signal이 관찰되고, aromatic proton signal이 저자장 shift하여 관찰되지 않는 점으로 미루어, 이 화합물은 glucose의



anomeric center가 free인 trigalloyl glucose의  $\alpha$ - 및  $\beta$ -체의 혼합물로 추정된다. galloyl기의 결합위치를 확인하기 위하여 compound 6을 dry acetone 중에서  $(CH_3)_2SO_4$  및  $K_2CO_3$ 로 methylation하여 methyl ether 6a 및 6b를 얻었다. 6a의  $^1H$ -NMR spectrum에서  $\delta$  5.66과  $\delta$  5.51의 proton signal이 저자장 shift하여  $J=7$  Hz로 coupling하고 있어 각각 glucose의 3, 4 위에,  $\delta$  4.70의 geminal proton이 glucose의 6 위에 귀속되고, 6b의  $^1H$ -NMR spectrum에서 저자장 shift하여 관찰되는 geminal proton signal [ $\delta$  4.67(1H, dd,  $J=4, 13$  Hz),  $\delta$  4.35(1H, d,  $J=13$  Hz)]이 glucose의 6 위에 귀속됨에 따라 compound 6은 glucose의 3, 4, 6 위에 galloyl기가

결합한 화합물로 추정하였다. 이상의 결과를 종합하여 compound 6은 3, 4, 6-tri-O-galloyl-D-glucose<sup>14)</sup>로 결정. 표품과 co-TLC 및 각종 spectrum data를 직접 비교하여 동정하였다.

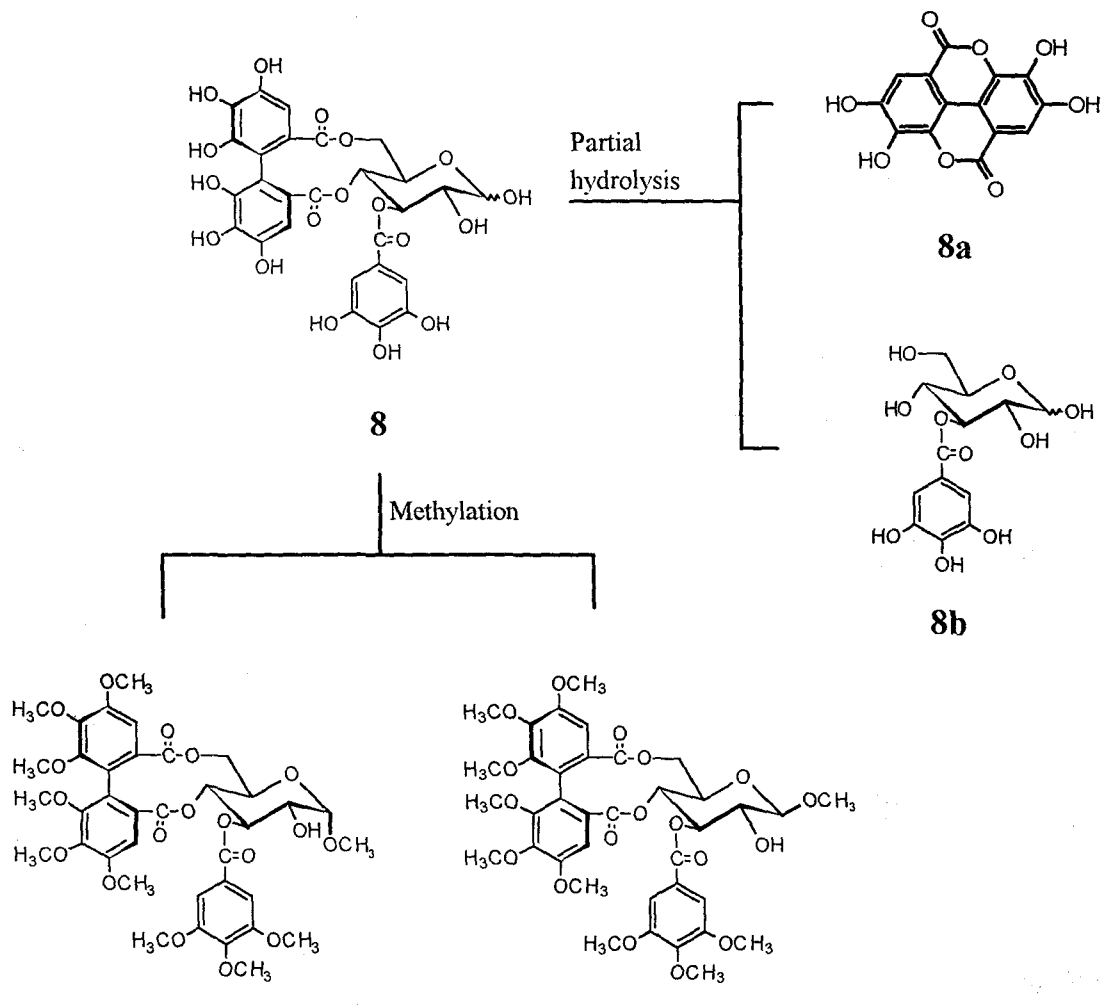
Compound 7은 담황색 무정형 분말로  $\text{FeCl}_3$  test에서 청남색을 나타내었다.  $^1\text{H-NMR}$  spectrum에서 aromatic field에  $\delta$  6.98, 7.01, 7.12에 3개의 galloyl기에 기인하는 각각 2H분의 singlet이  $\delta$  6.50, 6.67에 1개의 hexahydroxydiphenoyl(HHDP) group에 기인하는 각각 1H분의 singlet이 관찰 되고 aliphatic field에서는 1개의 herxose에 기인하는 7H분의 methine 및 methylene proton signal이 모두 저자장 shift되어 관찰 된다. 각 acyl기를 확인하기 위하여 com-



Compound 7을 methylation시킨 후 alkali 가수분해하고 재차 methylation시켜 methyl 3,4,5-trimethoxybenzoate(7a) 및 dimethyl (S)-hexamethoxydiphenoate(7b)를 얻었다. 이상의 결과로 compound 7은 한개의 hexose에 3개의 galloyl기, 한개의 (S)-HHDG기와 결합된 화합물로 추정되었다. 각 acyl기의 결합위치 및 hexose의 종류를 확인하기 위하여 compound 7을 부분 가수분해 한 결과 gallic acid(1)와 4,6-(S)-HHDG-D-glucose(7c)가 얻어짐에 따라 glucose의 1, 2, 3위에 galloyl기 4, 6위에 (S)-HHDG기가 결합되어 있는 것으로 추정되었다. Anomeric center의 배위는 anomeric proton signal( $\delta$  6.22)의 coupling constant가 9 Hz로 큰 것으로 보아 위로 결정했다. 이상의 결과로 compound 7을 1, 2, 3-tri-O-galloyl-4, 6-(S)-HHDG- $\beta$ -D-glucose (eugenin)<sup>15)</sup>으로 동정하였다.

Compound 8은 담황색 무정형 분말로  $\text{FeCl}_3$  test에서 청남색을 나타내었고  $^1\text{H-NMR}$  spectrum에서  $\delta$  7.04에 1개의 galloyl기에 기인하는 2H분

의 singlet이,  $\delta$  6.46 및  $\delta$  6.64에 1개의 HHDG기에 기인하는 각각 1H분의 singlet이 관찰되어 분자내에 1개의 galloyl기 및 1개의 HHDG기의 존재가 추정된다. 이와 같은 사실은 compound 8의 산 가수분해에 의해 ellagic acid(8a) 및 3-O-galloyl-D-glucose(8b)가 얻어짐에 따라 확인되었다. Compound 8을 methylation시켜 methyl ether 8c 및 8d를 얻었다. 8c 및 8d의  $^1\text{H-NMR}$  spectrum을 검토한 결과 anomeric proton signal이 각각  $\delta$  5.28[(1H, d,  $J$ =3.5 Hz), 8c],  $\delta$  4.75[(1H, d,  $J$ =8 Hz), 8d]에 나타나는 것으로 보아 8c 및 8d는  $\alpha$ - 및  $\beta$ -anomer라고 추정되었다. 또 8c의  $^1\text{H-NMR}$  spectrum에서  $\delta$  5.51과  $\delta$  4.95의 proton signal이  $J$ =10 Hz로 저자장 shift하여 나타나고 8d의  $^1\text{H-NMR}$  spectrum에서  $\delta$  5.33과  $\delta$  4.98의 proton signal이  $J$ =10 Hz로 저자장 shift하여 관찰되며, 이들은 각기 coupling pattern으로 보아 8c, 8d에 있어서 glucose의 3, 4위에 해당한다. 또 8c 및 8d의  $^1\text{H-NMR}$  spectrum에서 저자장 shift하고 있는  $\delta$  5.26[(1H, dd,



$J=7, 13$  Hz), 8c], 5.24[1H, dd,  $J=6, 13$  Hz], 8d]의 geminal proton signal이 glucose의 6 위에 귀속된다. 따라서 HHDP기는 glucose의 4, 6 위에 결합하고 있는 것으로 결정했다. HHDP기의 atrop성은 8c 및 8d를 alkali 가수분해하고 재차 methylation하여 얻어진 dimethyl hexamethoxy-diphenate의 선광도가 '-'로 S-configuration을 갖는 것으로 결정했다. 이상의 결과로 compound 8은 3-O-galloyl-4-(S)-HHDP-D-glucose(gemine D)<sup>16</sup>로 결정, 표품과 co-TLC 및 각종 spectral data를 비교하여 동정하였다.

Compound 9 및 compound 12는 확인 반응 및 각종 spectral data의 해석으로 compound 9는 quercetin<sup>17,18</sup>, compound 12는 quercetin-3-

O-rutinoside(rutin)<sup>19,20</sup>으로 결정 표품과 직접 비교하여 동정하였다.

Compound 10은 황색 분말로  $\text{FeCl}_3$  test에서 오록색, Mg-HCl 및 Zn-HCl test에서 흥색을 나타내는 등 flavonoid 확인반응에 양성을 나타내었다.  $^1\text{H-NMR}$  spectrum에서 aliphatic field에서  $\delta$  0.82에 전형적인 rhamnose의 methyl기에 의한 3H분의 doublet[ $\delta$ ],  $\delta$  5.25에  $J=2$  Hz로 coupling하고 있는 anemic proton signal[ $\delta$ ], aromatic field에  $\delta$  6.22와  $\delta$  6.40에 각각  $J=2$  Hz로 coupling하고 있는 doublet[ $\delta$ ],  $\delta$  6.86에  $J=8$  Hz의 doublet,  $\delta$  7.24에  $J=2, 8$  Hz의 doublet[ $\delta$ ] 관찰되어 compound 10의 aglycone 부분은 quercetin으로 추

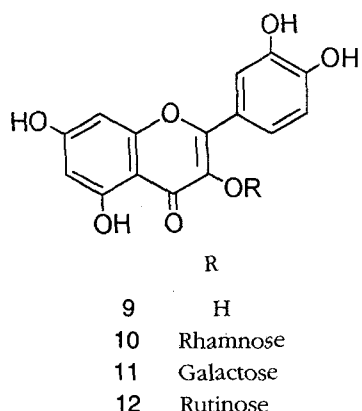
정된다. Compound 10을 산 가수분해한 결과 rhamnose 및 aglycon으로 quercetin이 생성되었다. 따라서 compound 10은 quercetin에 rhamnose가 1개 ether 결합한 것으로 추정하였다. Rhamnose의 결합위치는 UV spectrum에서 NaOMe첨가시 324 nm에 새로운 흡수대가 나타나는 것으로 보아 7위에 hydroxy기가, NaOAc/H<sub>3</sub>BO<sub>3</sub>첨가시 bathochromic shift와, AlCl<sub>3</sub>/HCl첨가시 보다 AlCl<sub>3</sub>첨가시 bathochromic shift가 일어난 것으로 보아 B환에 free dihydroxyl group이 존재한다는 것을 알 수 있었고<sup>19)</sup>, <sup>13</sup>C-NMR에서 2위 및 4위의 C signal이 저자장 shift되고, 3위의 C signal이 약간 고자장 shift되는 등 glycosylation shift<sup>20)</sup>되는 것으로 보아 3위로 결정하였다. Anomeric center의 배위는 <sup>1</sup>H-NMR spectrum에서 anomeric proton signal( $\delta$  5.25)의 coupling constant가 2Hz로  $\alpha$ -위로 결정했다. 이상의 결과로 compound 6을 quercetin-3-O- $\alpha$ -L-rhamnoside (quercitrin)<sup>18)</sup>라 결정하고 표품과 co-TLC, <sup>1</sup>H-NMR, <sup>13</sup>C-NMR spectrum을 비교하여 동정하였다.

Compound 11은 황색 분말로 FeCl<sub>3</sub> test에서 오록색, Mg-HCl 및 Zn-HCl test에서 흥색을 나타내는 등 flavonoid 확인반응에 양성을 나타내었다. <sup>1</sup>H-NMR spectrum에서 aliphatic field에 1개의 hexose에 기인하는 모두 7H분의 methine 및 methylene proton signal이 관찰되고, aromatic field에서  $\delta$  6.18과  $\delta$  6.40에 각각  $J=2$  Hz로 coupling하고 있는 doublet이,  $\delta$  6.79에  $J=8$  Hz, 7.53 ppm에  $J=2$  Hz, 7.62 ppm에  $J=2, 8$  Hz로 각각 coupling하고 있는 signal이 관찰되어 이 화합물은 compound 10에서와 같이 분자내에 quercetin의 존재가 추정된다. 또, compound 11을 산 가수분해한 결과 quercetin과 galactose를 얻었다. 이상의 결과로 compound 11은 quercetin에 1개의 galactose가 glycoside 결합한 것으로 추정하였다. Galactose의 결합위치는 UV spectrum에서 NaOMe첨가시 327 nm에 새로운 흡수대가 나타나는 것으로 보아 7위에 hydroxy기가, NaOAc/H<sub>3</sub>BO<sub>3</sub>첨가시 bathochromic shift와, AlCl<sub>3</sub>/HCl첨가시 보다 AlCl<sub>3</sub>첨가시 bathochromic shift가 일어난 것으로 보아 B환도 free

dihydroxyl group이 존재한다는 것을 알 수 있었고, 또, <sup>13</sup>C-NMR에서 2위 및 4위의 carbopn signal이 각각 9 및 2 ppm 저자장 shift되고, 3위의 carbon signal이 2 ppm 고자장 shift되는 등 glycosylation shift되는 것으로 보아 galactose의 결합 위치는 3위로 결정하였다. Anomeric center의 배위는 <sup>1</sup>H-NMR spectrum에서 anomeric proton signal(5.33 ppm)의 coupling constant가  $J=8$  Hz으로  $\beta$ -위로 결정했다. 따라서, compound 11을 quercetin-3-O- $\beta$ -D-galactoside(hyperoside)<sup>20,22)</sup>라 결정하고 문헌 data와 <sup>1</sup>H-NMR, <sup>13</sup>C-NMR spectrum을 비교하여 동정하였다.

## 결 론

신선한 층층나무의 잎을 80% 수성 acetone으로 추출하여 얻은 엑스를 각종 reverse phase column chromatography를 실시하여 12종의 phenolic compounds를 단리하였다. 이들 화합물은 물리항수, <sup>1</sup>H- 및 <sup>13</sup>C-NMR, UV, IR 등의 spectral data의 해석, 분해반응, 표품과 비교시험 등의 결과 gallic acid(1), 1-O-galloyl- $\beta$ -D-glucose(2), 1,6-di-O-galloyl- $\beta$ -D-glucose(3), 1,2,3-tri-O-galloyl- $\beta$ -D-glucose(4), 1,2,6-tri-O-galloyl- $\beta$ -D-glucose(5), 3,4,6-tri-O-galloyl-D-glucose(6), eugeniin(7), gemine D(8), quercetin(9), quercitrin(10), hyperoside(11), rutin(12)으로 동정하였다. 이중 주성분은 hyperoside(11)로 3.5g(0.04%)이었고, gallic acid 및 quercetin을



제외한 모든 성분은 층층나무에서는 처음 단리된 성분이었다.

감사의 글 - 이 연구는 1995학년도 영남대학교 학술연구조성비의 지원에 의해 수행되었으며 이에 감사드립니다.

〈1995년 9월 23일 접수〉

### 참고문헌

1. 李昌福: 大韓植物圖鑑, 鄭文社, p. 593 (1980).
2. 陸昌洙: 原色韓國藥用植物圖鑑, 아카데미 서적, 서울, p. 330 (1989).
3. 中國本草圖錄編輯委員會: 中國本草圖錄 卷四, 臺灣商務印書館, 中華民國, p. 144 (1989).
4. Nakaoki, T. and Morita, N.: Studies on the medicinal resources. XII. Components of the leaves of *Cornus controversa* H., *Ailanthus altissima* S. and *Ricinus communis* L., *Yakugaku Zasshi*, **78**, 558-559 (1958).
5. Takaishi, K.: The contents of coumarin analogues in red leaves of higher plants, *Phytochemistry*, **10**, 719-722 (1971).
6. Kurihara, T. and Kikuchi, M.: Studies on the constituents of flowers. IX. On the components of the flower of *Cornus controversa*, *Yakugaku Zasshi*, **98**, 969-972 (1972).
7. Nishino, C., Kobayashi, K. and Fukushima, M.: Halleridone, cytotoxic constituent from *Cornus controversa*, *J. Natural Products*, **51**, 1281-1282 (1988).
8. 宋桂澤, 鄭炫培, 奏熙成: 韓國資源植物. 美都文化社, p. 758 (1983).
9. Saijo, R.: The chemical studies on the tannins and related compounds from the *Mallotus japonica*, *M. repandus* and *M. phillipinensis*. Kyushu Univ. Japan, pp. 173-175, 182 (1990).
10. Schimidt, O.T. and Schmadel, H.: Synthesen des  $\alpha$ -glucogallins und neue synthesen des  $\beta$ -glucogallins, *Justus Lieig's Ann. Chem.*, **649**, 149-157 (1961).
11. Elizabeth, A.H., Raj, K.G., Sabah, M.K.A., and Edwin, H.: The metabolism of gallic acid and hexahydroxydiphenic acid in plants. Part 1. Naturally occurring galloyl esters, *J. Chem. Soc. Perkin Trans. I*, 2515-2524 (1982).
12. Lee, S.-H., Tanaka, T., Nonaka, G. and Nishioka, I.: Hydrolysable tannins from *Euphorbia thymifolia*, *Phytochemistry*, **29**, 3621-3625 (1990).
13. Nonaka, G.I., Nishioka, I., Nagasawa, T. and Oura, H.: Tannins and related compounds 1. Rhubarb(1), *Chem. Pharm. Bull.*, **29**, 2862-2870 (1981).
14. Willkins, C.: Galloyl glucose derived from *Heuchera cylindrica*, *Phytochemistry*, **27** 2317-2318 (1988).
15. Nonaka, G., Harada, M. and Nishioka, I.: Eugeniin, a new ellagitannin from cloves, *Chem. Pharm. Bull.*, **28**, 685-687 (1980).
16. Yoshida, T., Maruyama, Y., Okuda, T., Menon, U. and Shingu, T.: Gemin B and C, dimeric ellagitannin fdrom *Geum japonicum*, *Chem. Pharm. Bull.*, **30**, 4245-4248 (1982).
17. 강삼식, 신국현, 정순간, 조의환: 음양곽의 flavonoid 성분에 관한 연구, *Kor. J. Pharmacogn.*, **10**, 93 (1988).
18. Miyazaki, K., Ishizawa, S., Nagamo, S., Inoue, T. and Nagai, M.: *Shoyakugaku Zasshi*, **45**, 333 (1991).
19. Mabry, T.J., Markham, K.R. and Thomas, M. B.: The Systematic Identification of the Flavonoids, Springer, New York, p. 461 (1970).
20. Agrawal, P. K.: Carbon-13 NMR of Flavonoids, Elsevier, pp. 154, 293, 336-337, 341-342 (1989).
21. Kosuge, T., Ishida, H. and Satoh, T.: Studies on antihemorrhagic substances in herb classified as hemostatics in chinese Medicine. V. On anhemorrhagic principle in *Biota orientalis*, *Chem. Pharm. Bull.*, **33**, 206 (1985).
22. Kartig, T., Gruber, A. und Stachet.: Zur kenntnis des flavonoidmusters von *Asparagus officinalis*, *Planta Medica*, **51**, 288 (1985).